

FIG. 1

FIG. 2

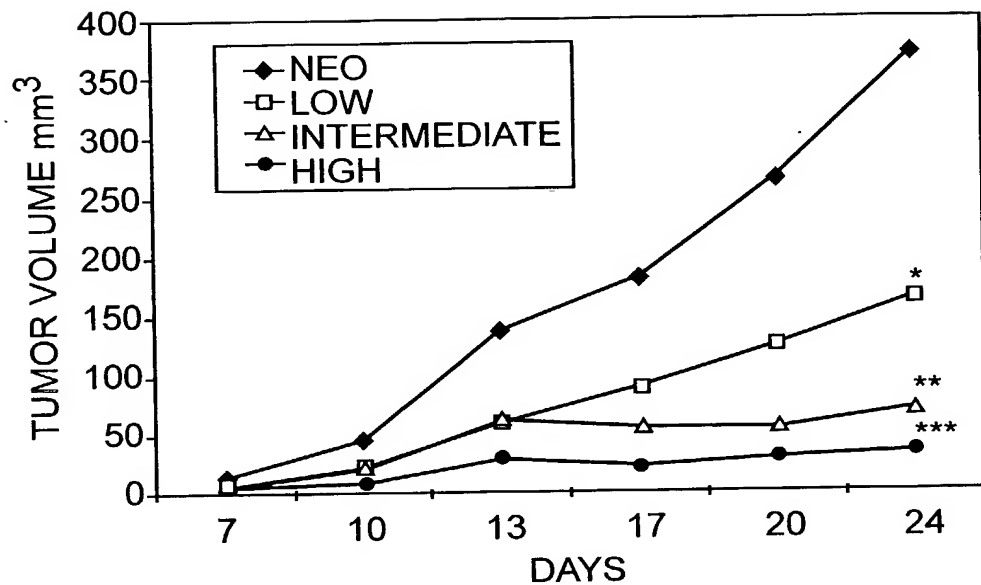


FIG. 4A



FIG. 4B



FIG. 4C

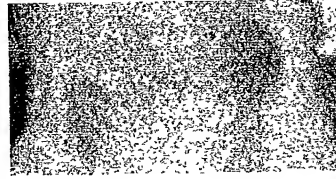


FIG. 4D

FIG. 6

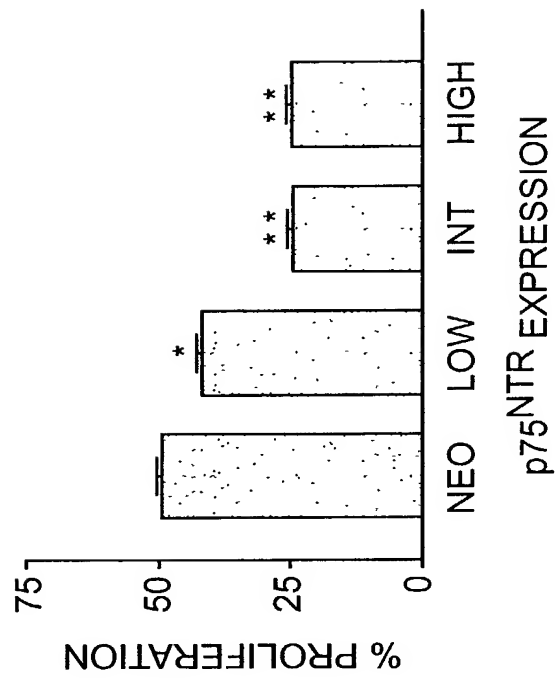


FIG. 5

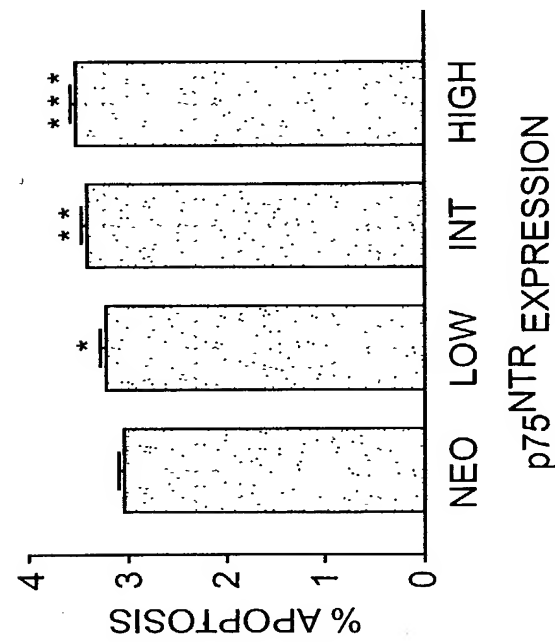


FIG. 7B

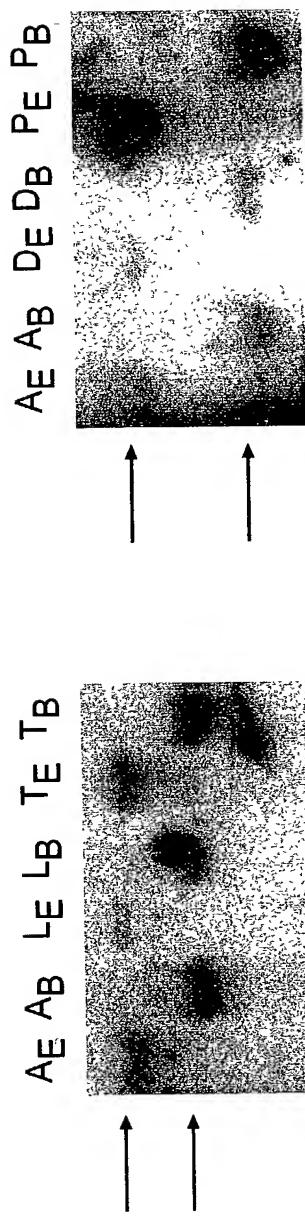


FIG. 7A

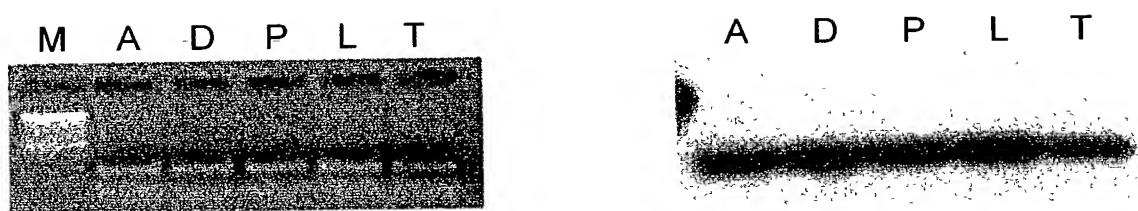


FIG. 8A

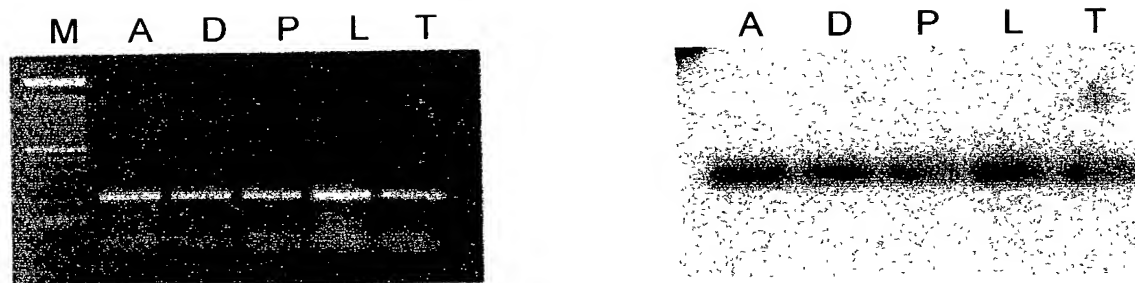


FIG. 8B

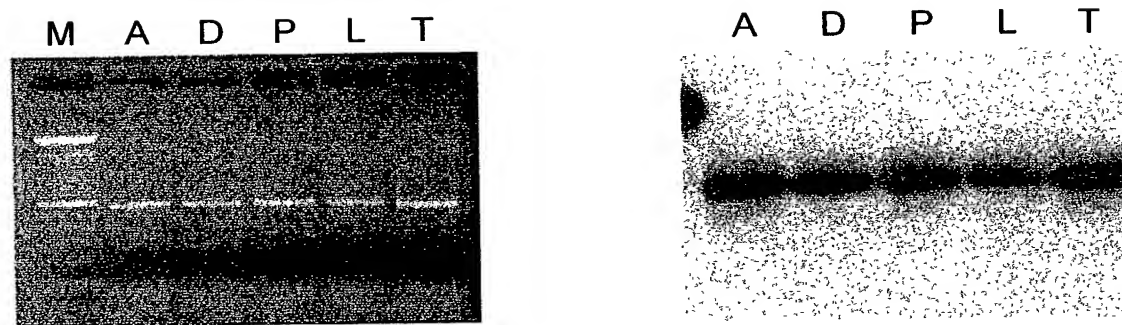


FIG. 8C



FIG. 9

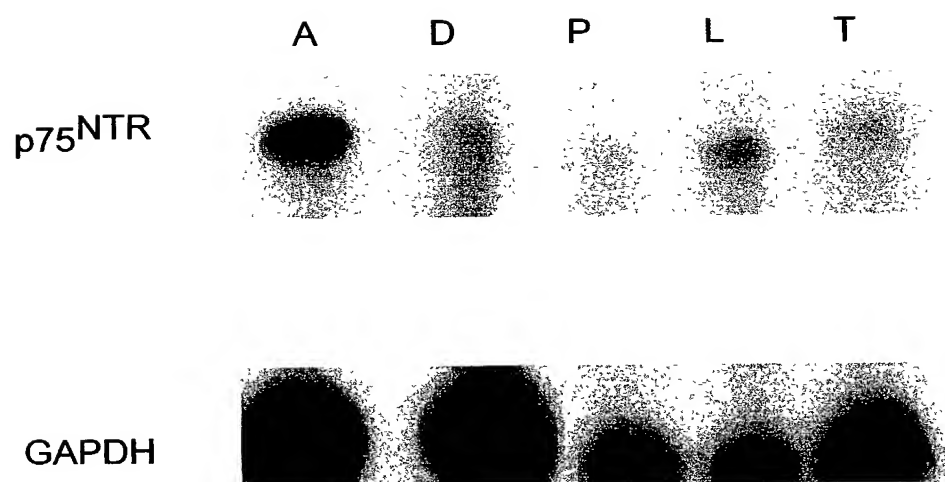


FIG. 10

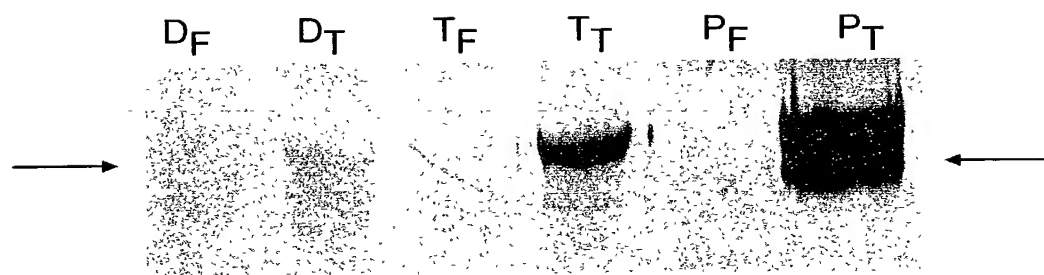


FIG. 11

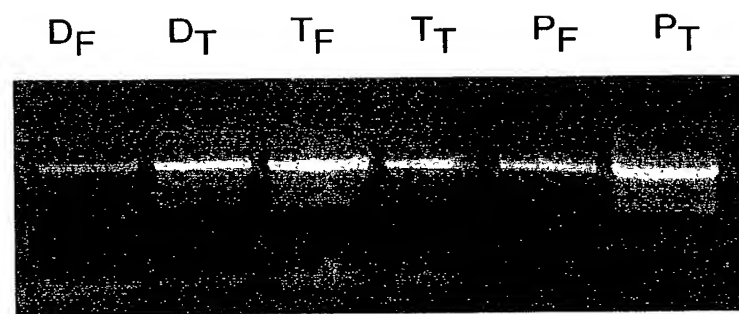


FIG. 12

FIG. 13B

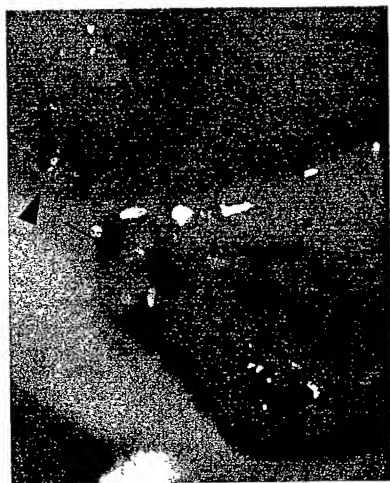


FIG. 13A



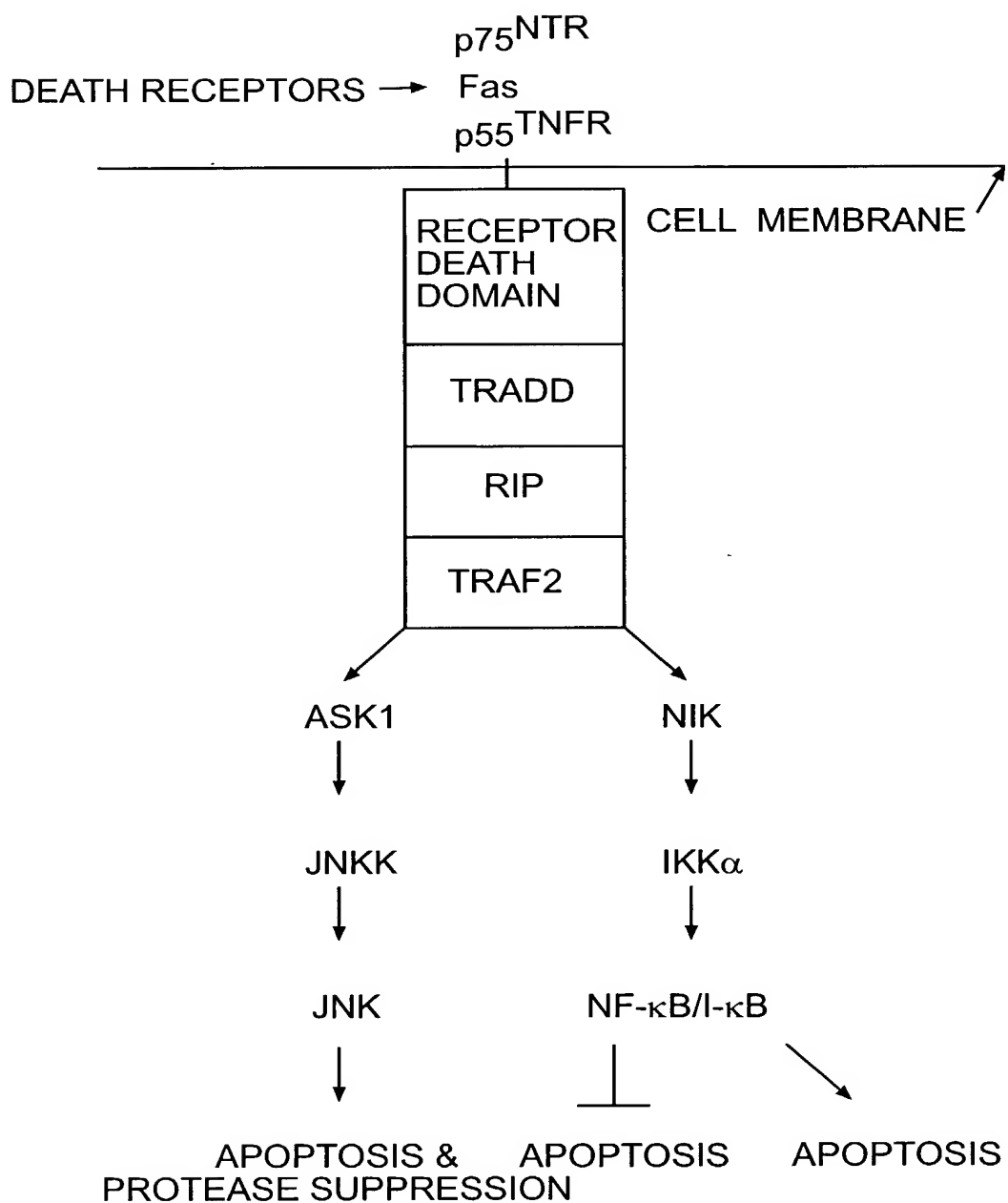


FIG. 14

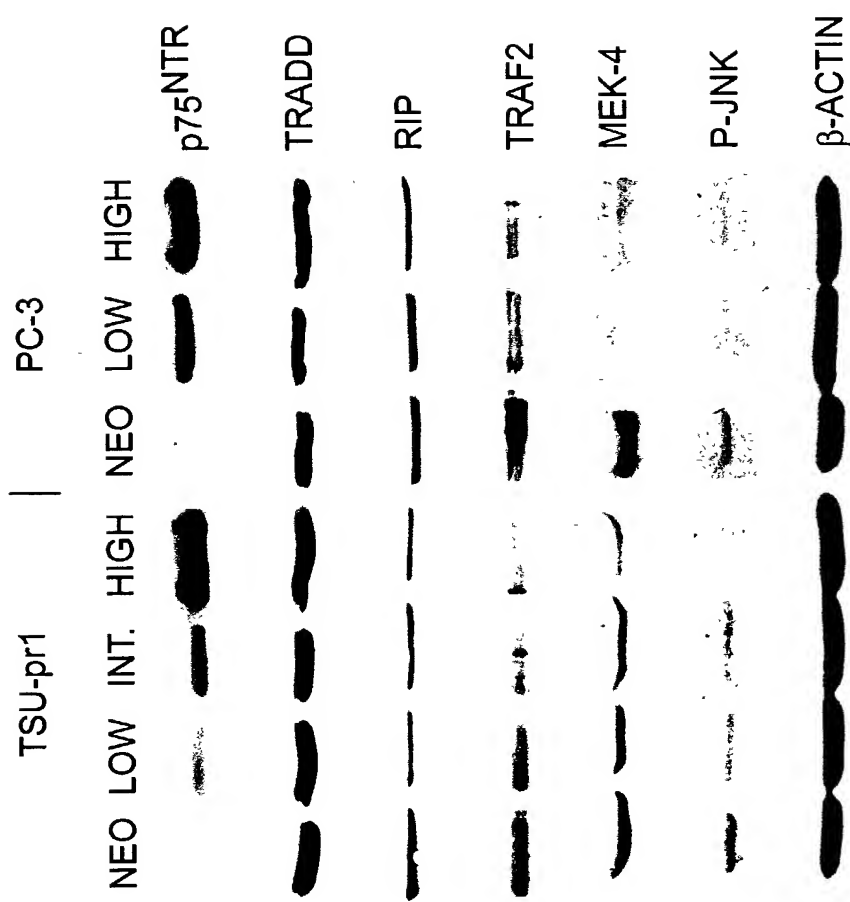


FIG. 15A

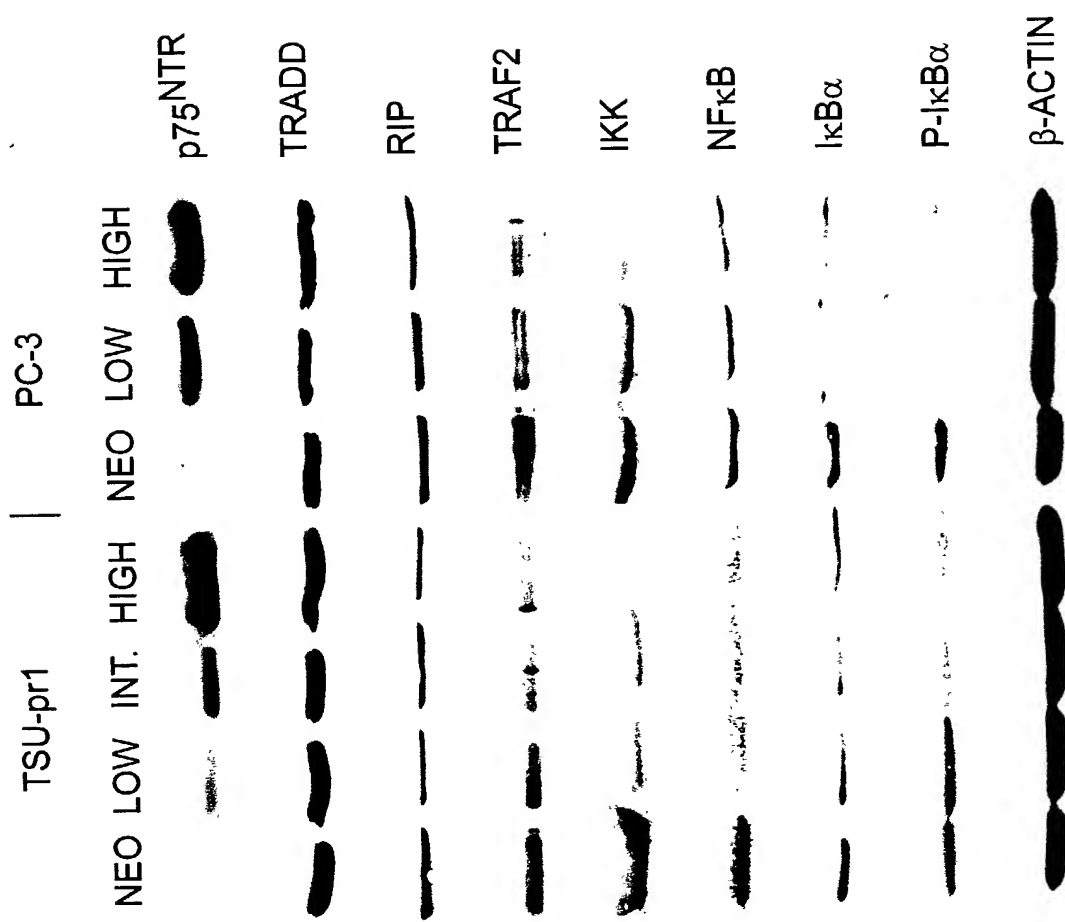


FIG. 15B

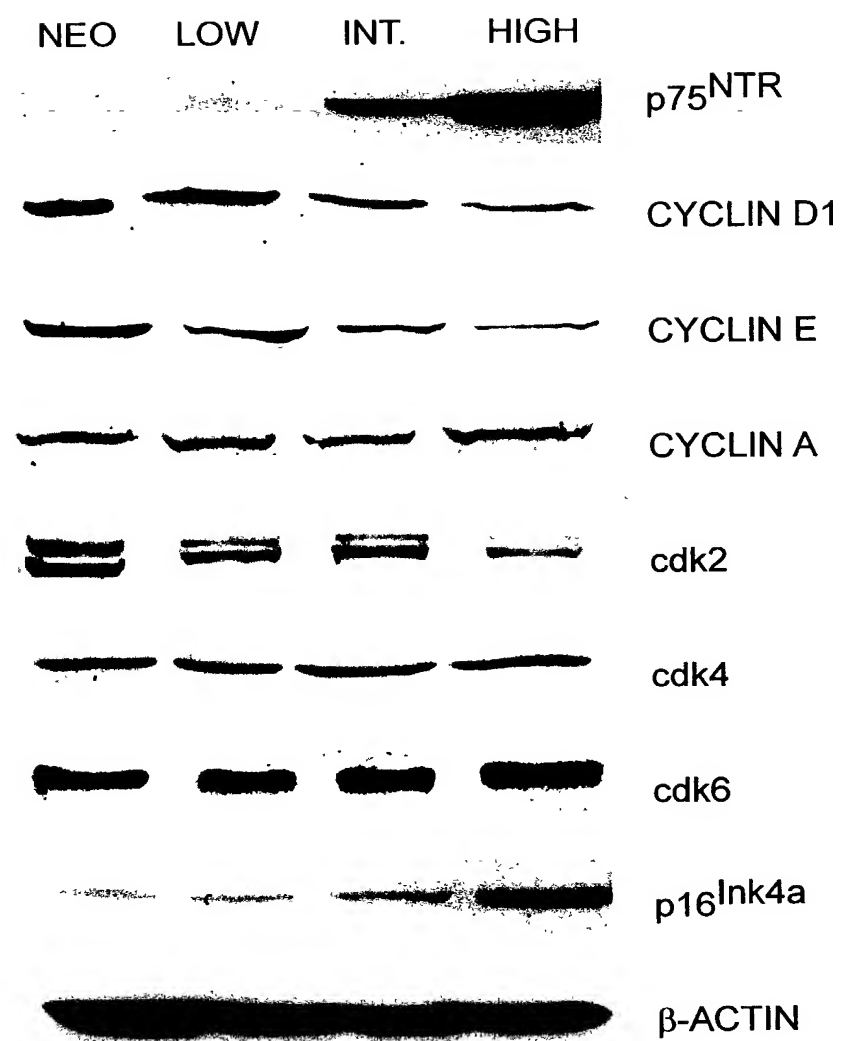


FIG. 16

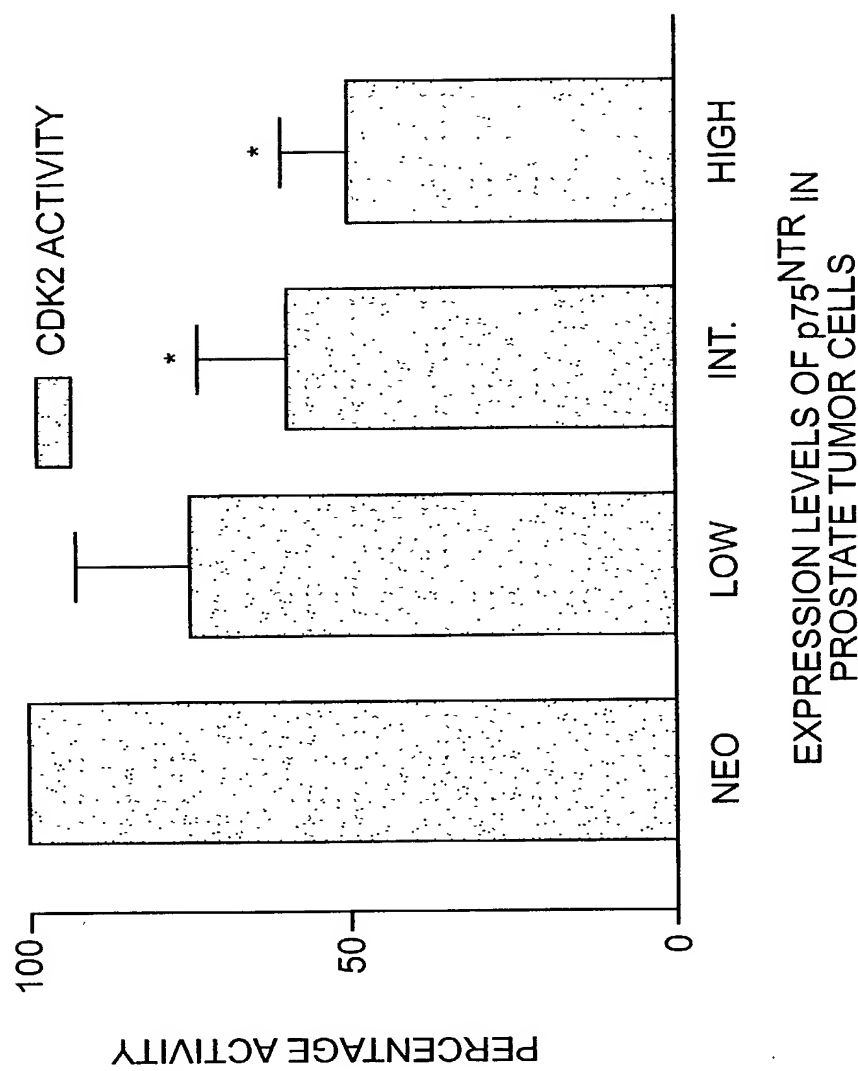


FIG. 17

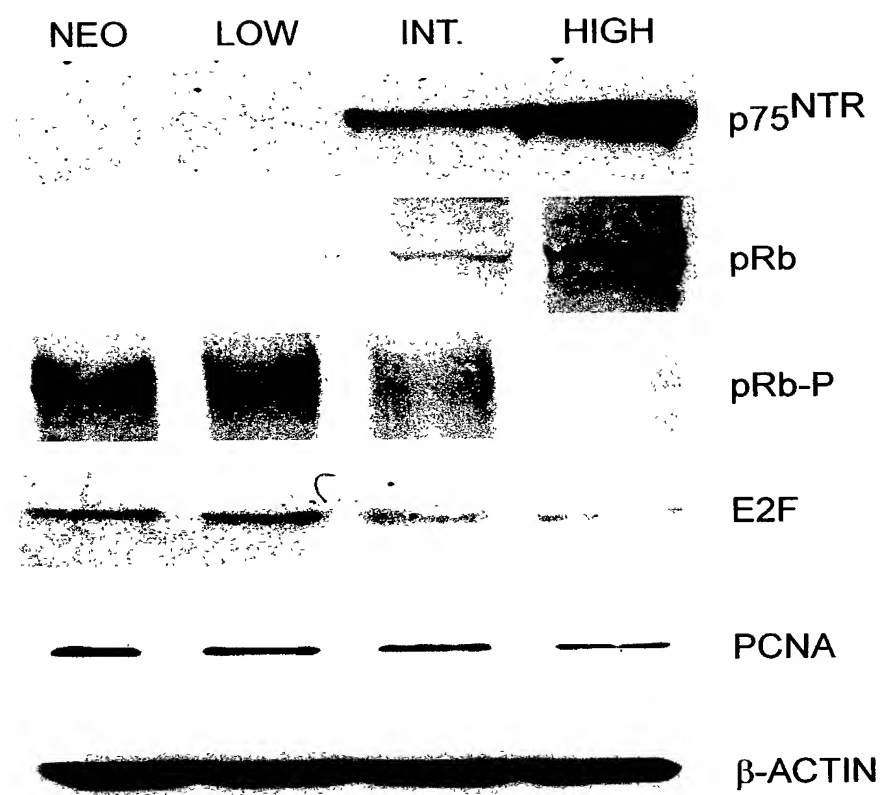


FIG. 18

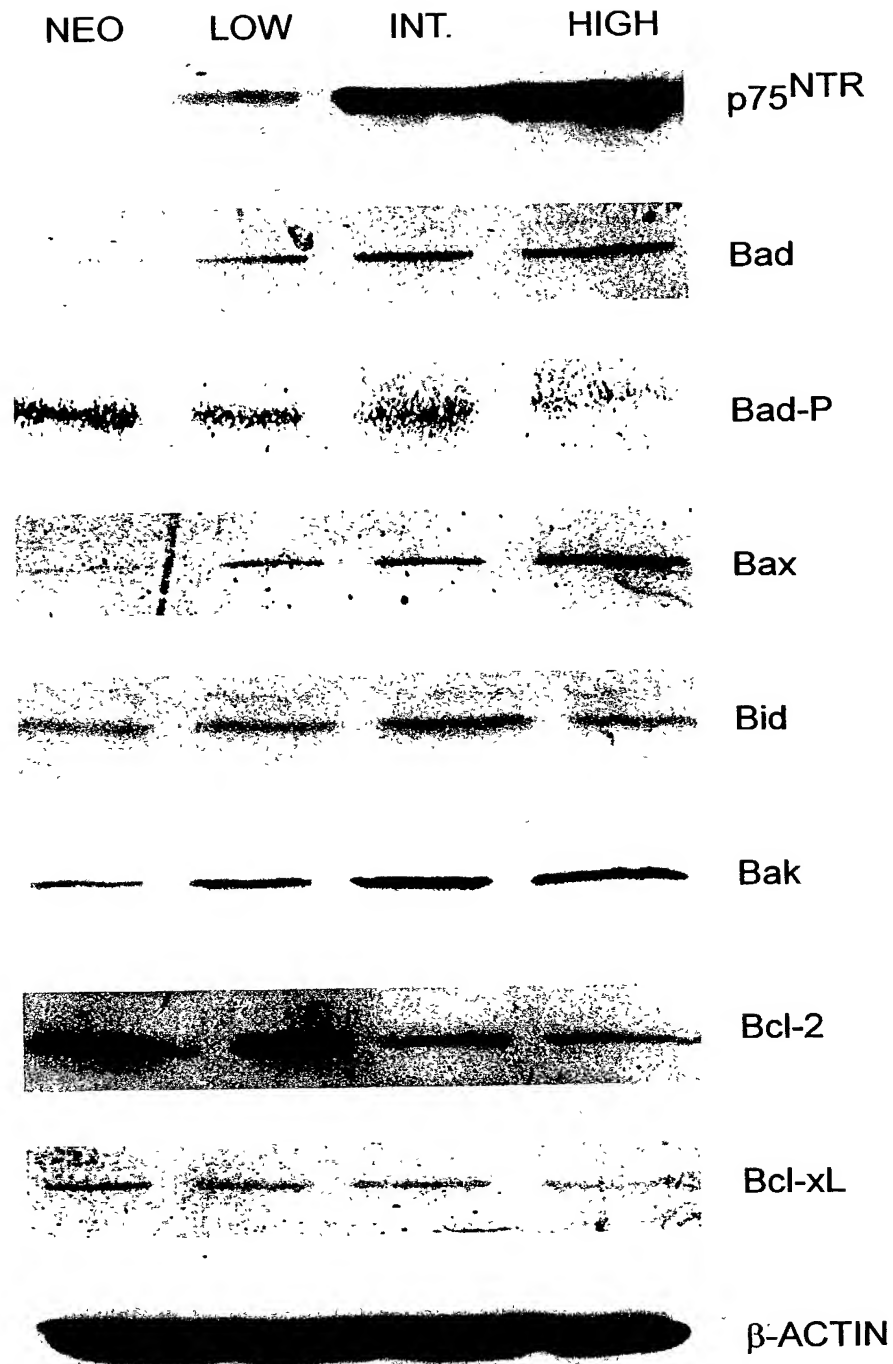


FIG. 19

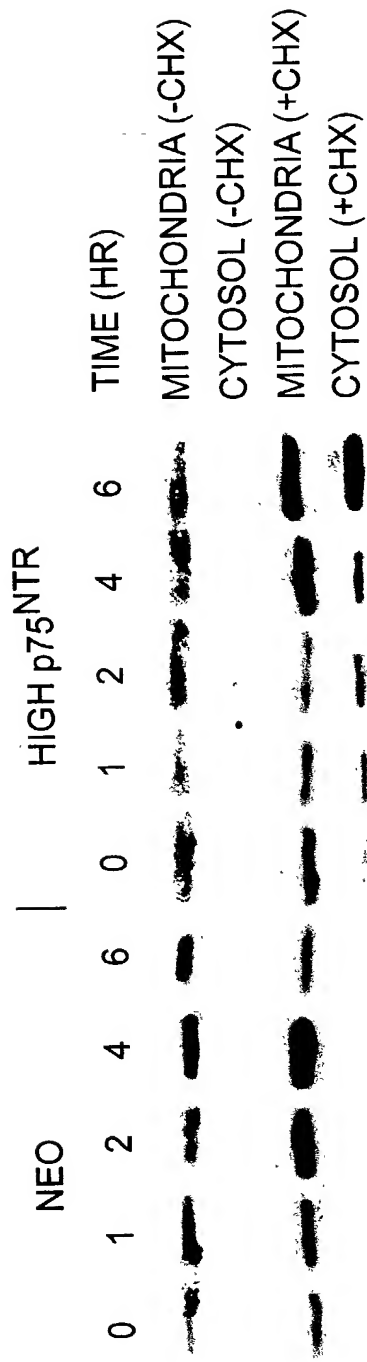


FIG. 20

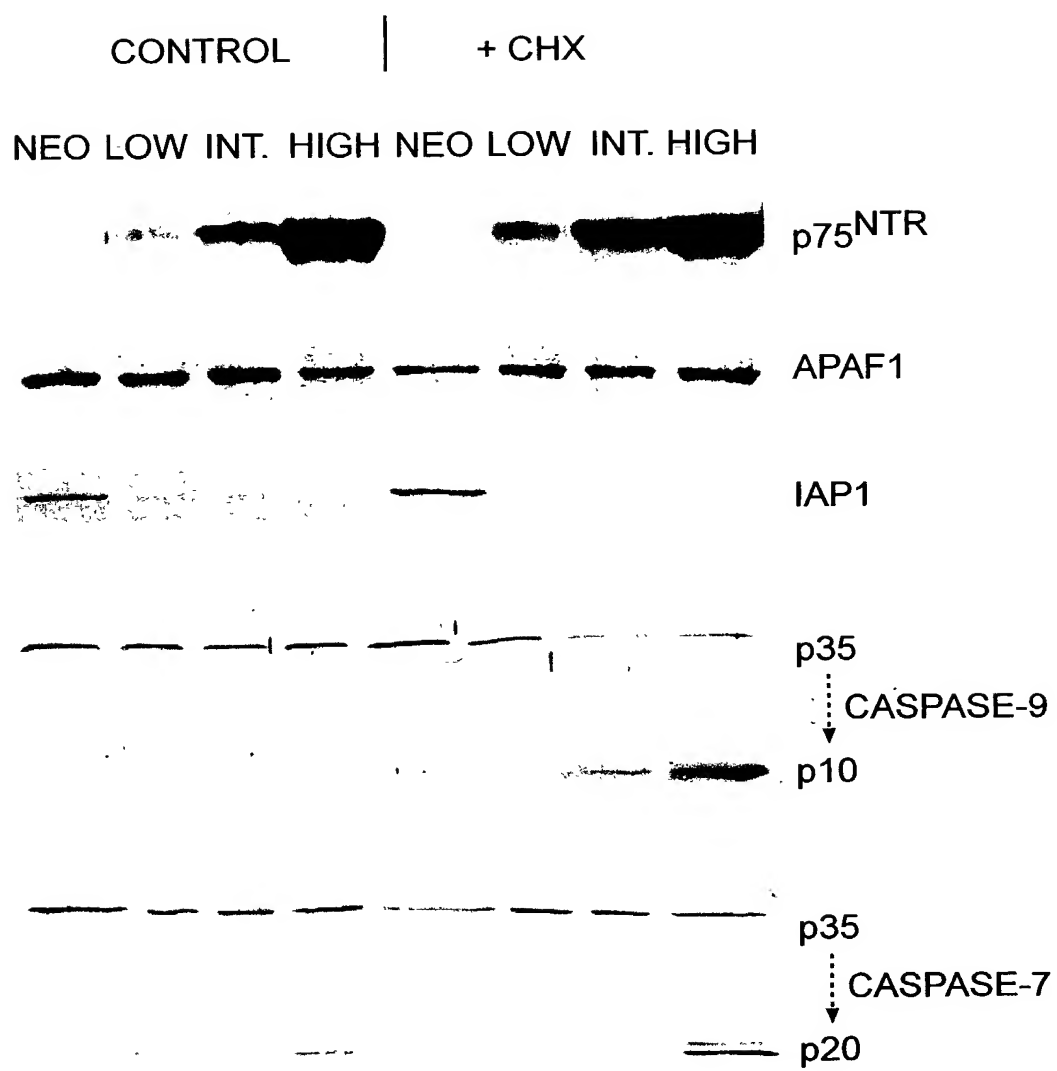


FIG. 21

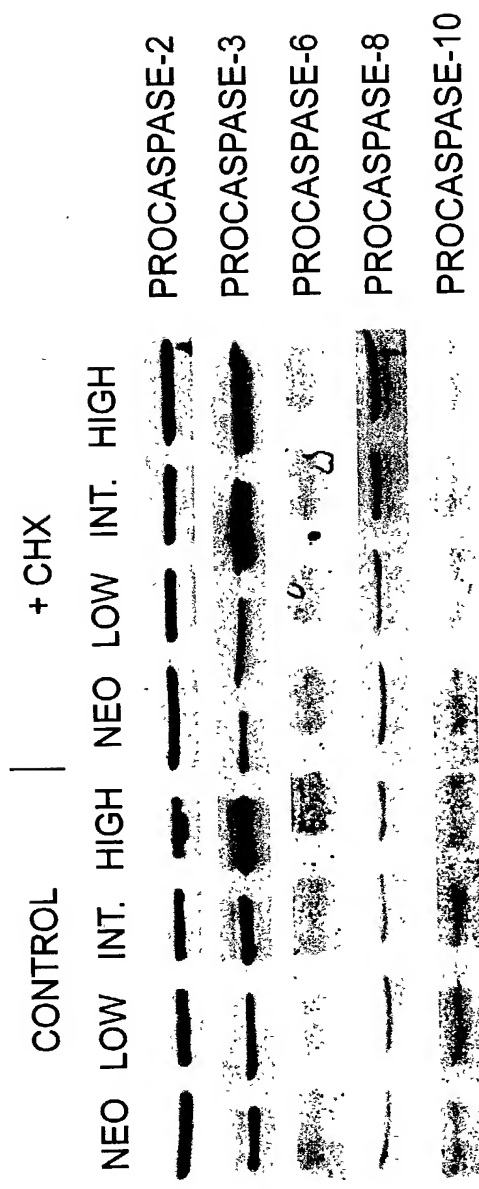


FIG. 22

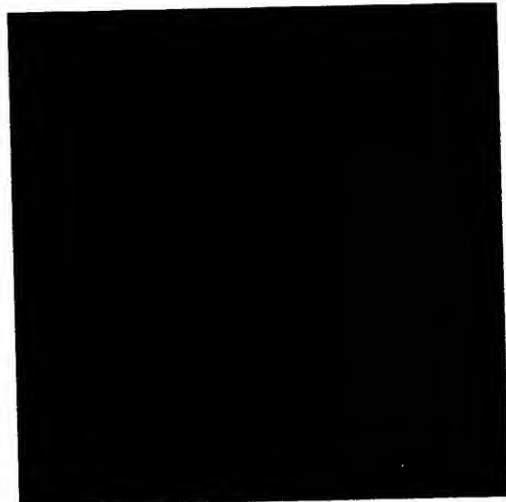


FIG. 23A

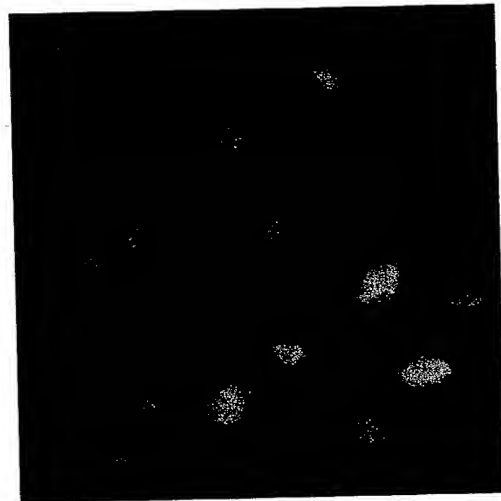


FIG. 23B

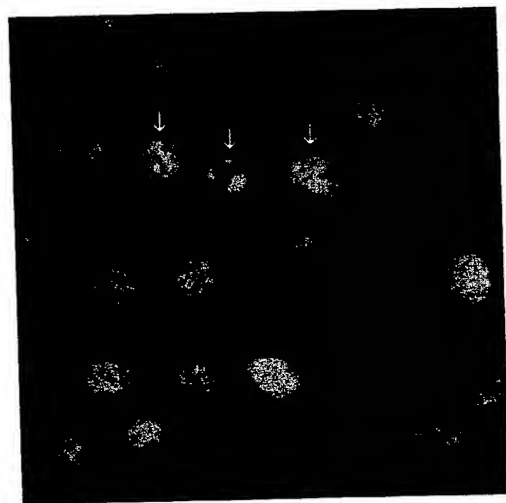


FIG. 23C

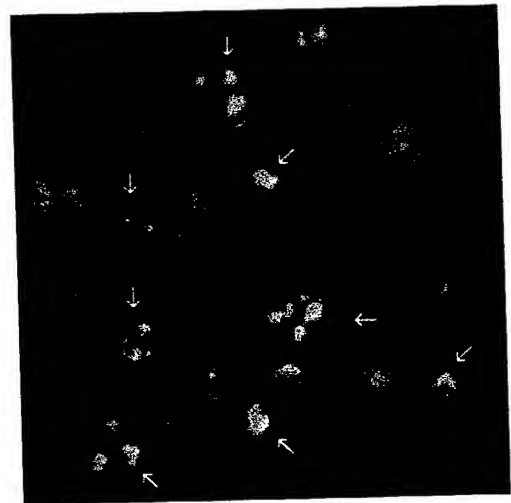


FIG. 23D

GROWTH OF PC-3 HUMAN PROSTATE TUMORS IN SCID MICE

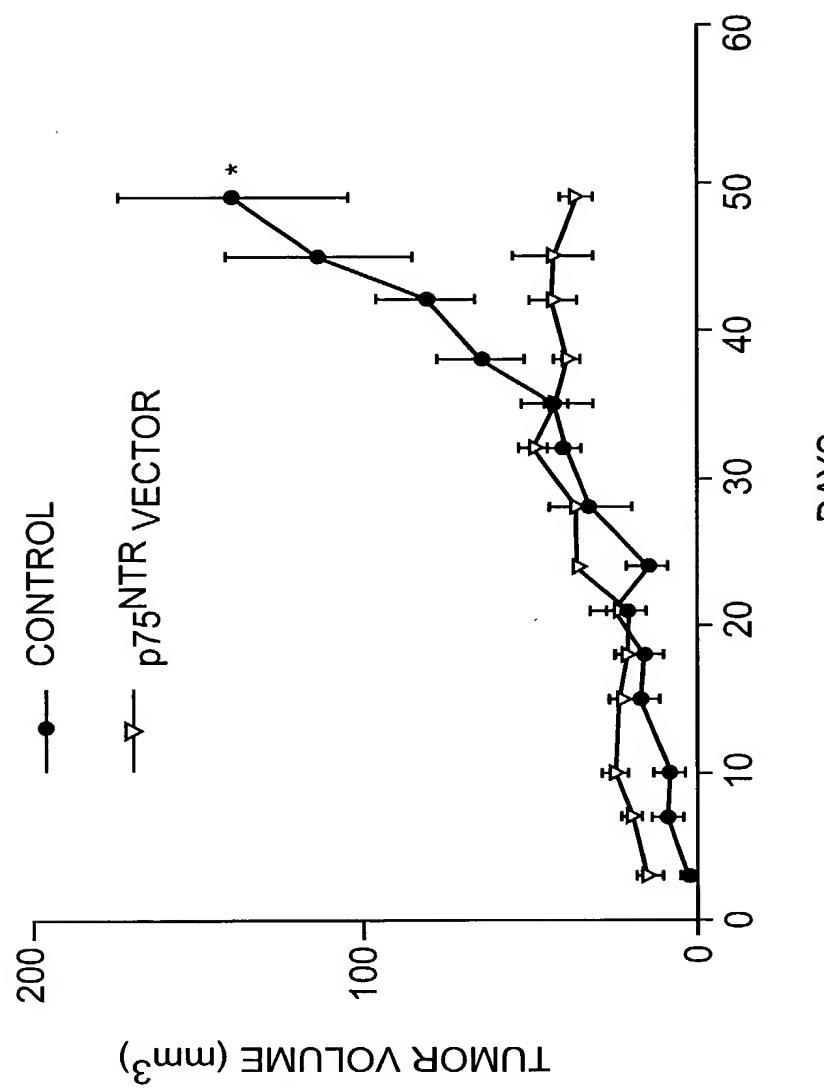


FIG. 24